

«
 » « »
 . - . .
 (,)
 3.308.2014/
 . - . .
 (,)
 « »
 (,)

ZrO₂-SrTiO₃-BiScO₃

,
 ,
 ABO₃ [1].
 ,
 ZrO₂-SrTiO₃
 .
 SrTiO₃,
 ,
 -
 SrTiO₃,
 ABO₃
 Sr (
) Ti () [2, 3].
 BiScO₃,
 ZrO₂-SrTiO₃-
 [4].
 Rigaku UltimaIV,

Quanta 200 3D.
Novocontrol Concept 43.

ZrO₂-SrTiO₃-BiScO₃
. 1. -

Fm3m, -

3

4

3 -

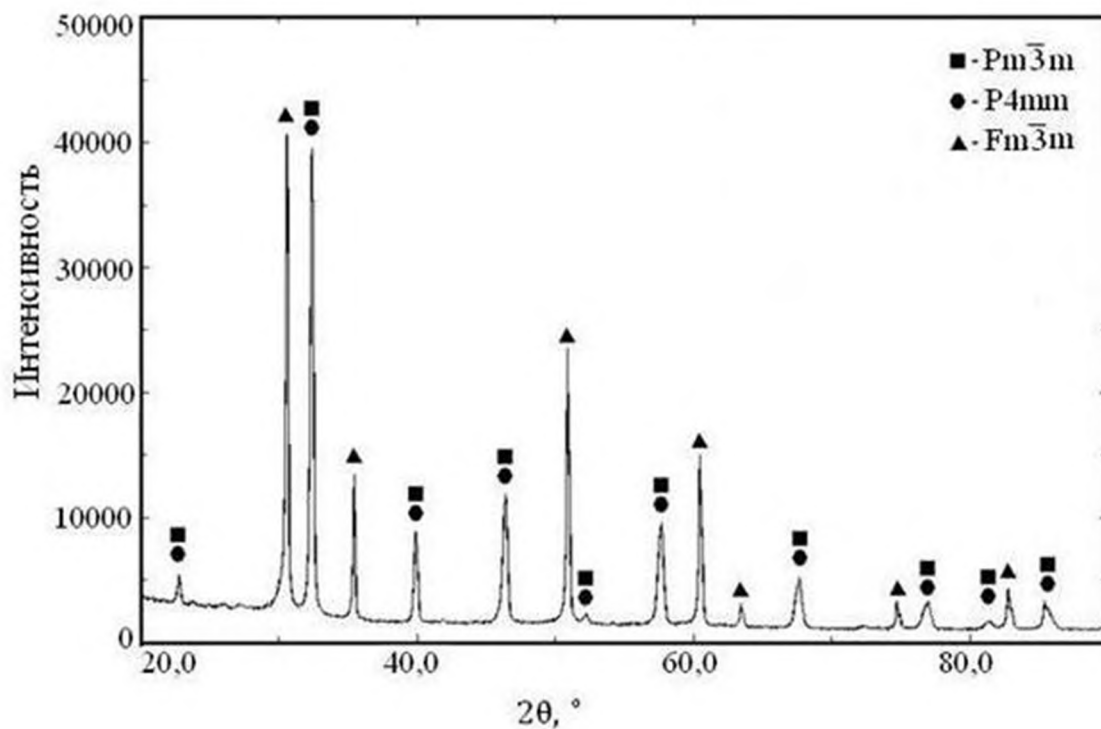
4 -

SrTiO₃-BiScO₃. -

r(Sr²⁺)=1,12 , r(Bi³⁺)=1,34A, r(Ti⁴⁺)=0,745 r(Sc³⁺) = 0,885 . -

(r(Sr²⁺)/r(Bi³⁺)=0,836 r(Ti⁴⁺)/r(Sc³⁺)=0,842,
SrTiO₃-BiScO₃ -

BiScO₃ , -



. 1. -

ZrO₂-SrTiO₃-

BiScO₃

-

F 3 -

;

-

3 -

;

• -

-

4 -

.

ZrO₂-

SrTiO₃-BiScO₃

0,5Y_{0,1}Zr_{0,9}O₂-0,5(0,6SrTiO₃ - 0,4BiScO₃).

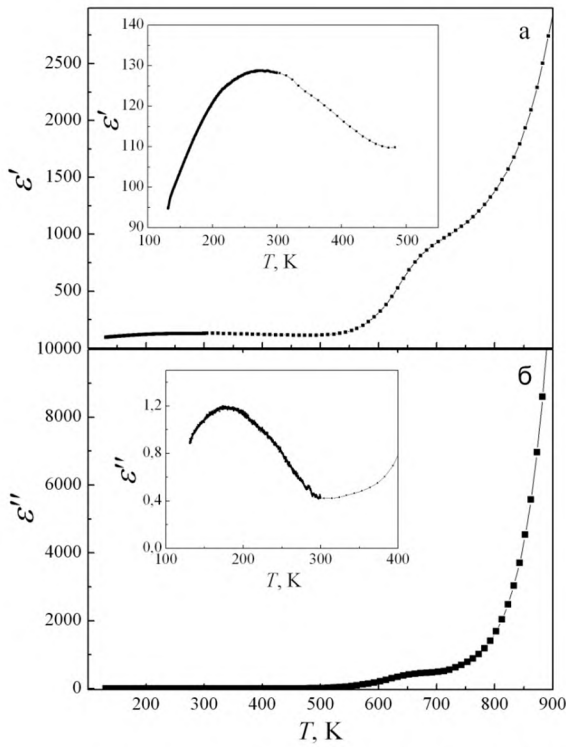


Рис. 2 - Температурные зависимости ϵ' (a) и ϵ'' (б) образца $0,5Y_{0,1}Zr_{0,9}O_2-0,5(0,6SrTiO_3 - 0,4BiScO_3)$.

800
0,4BiScO₃).

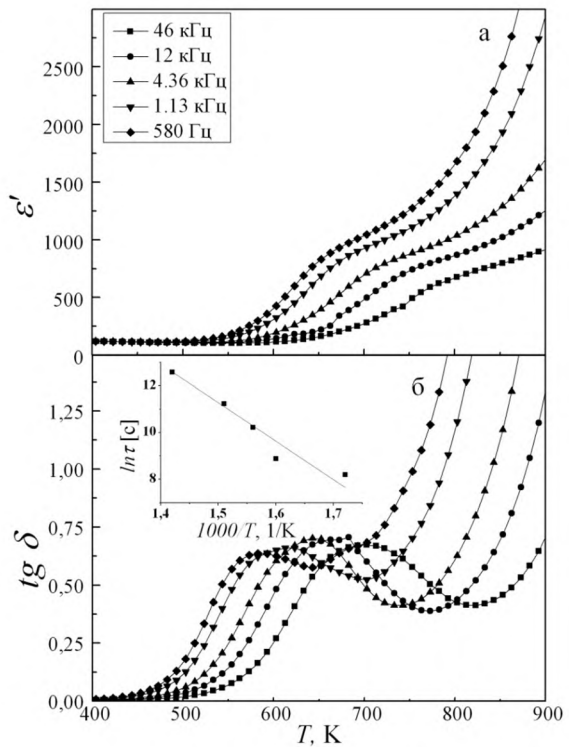


Рис. 3 – Зависимости $\epsilon'(T)$ – а) и $tg\delta(T)$ и б) образца $0,5Y_{0,1}Zr_{0,9}O_2-0,5(0,6SrTiO_3 - 0,4BiScO_3)$,

0,5Y_{0,1}Zr_{0,9}O₂-0,5(0,6SrTiO₃ -

:

1. *Garsia-Barriocanal J., Rivera-Calzada A., Varela M. et al.* Colossal ionic conductivity at interfaces of epitaxial $\text{ZrO}_2\text{:Y}_2\text{O}_3/\text{SrTiO}_3$ heterostructures // *Chem. Phys. Chem.* 2009. V. 10. P. 676 - 680.

2. $\text{SrTiO}_3\text{-PbTiO}_3$ // . 2007. . 49. . 488 - 489.

3. $\text{SrTiO}_3\text{-LiNbO}_3$ // . 2008. . 50. . 119 - 122.

4. , , , $\text{ZrO}_2\text{-}$

$\text{SrTiO}_3\text{-BiScO}_3$. // . 2015. 11, .22-25.